

理論天文学概論

牧野淳一郎

2008年6月11日

1 等温モデル、キングモデル、 β モデル

前回は、球対称な力学平衡モデルの例として、Plummer model, Hernquist model とそのバリエーション、等温モデルについて簡単に説明した。今日は、物理的に重要である等温モデルの性質と、等温モデルの重要なバリエーションについて説明する。まず、流体の等温分布との関係を扱い、それから有限質量になるように分布関数に変更を加えた King model を扱う。

そのあと、2成分系のなかでもっとも簡単な、等温モデルで表現される恒星系のなかにも、それに比べて質量が小さい等温ガスがトラップされているという場合を考えてみる。これは、銀河団のガスの非常によいモデルであるとされ、現在も解析の基本的な仮定となっている。実際にどのような扱いをしているか、その問題点についても触れることにしたい。

1.1 等温モデル

1.1.1 流体との関係

等温モデルは、エントロピーの一次の変分が0であり、分布関数がボルツマン分布になっているという特別な性質がある。このため、等温ガス球と実は同じ構造をとる。以下、ガス球について方程式を導いておく。静水圧平衡の式は

$$\frac{dP}{dr} = -\rho \frac{GM_r}{r^2} \quad (1)$$

である。状態方程式に等温の

$$P = \frac{k_B T}{m} \rho \quad (2)$$

を使って P を消して、さらに M_r を微分してみれば、

$$\frac{d}{dr} \left(r^2 \frac{d \log \rho}{dr} \right) = -\frac{4\pi G m}{k_B T} \rho r^2 \quad (3)$$

要するに、stellar system とガスで同じ方程式になっている。

この時、実際に「分布関数も同じ」ということに注意してほしい。つまり、速度分布、したがって速度分散も同じになっているわけである。

なお、ポリトロープでも、ポリトロピックな状態方程式を持つガス球の密度分布と stellar system のそれとは一致する。が、等温モデルの場合とは実は本質的な違いがある。等温モデルの場合は、分布関数そのものが一致する（ボルツマン分布であり、局所的にも大局的にもエントロピー最大）が、一般のポリトロープではそんなことはない（そもそもガス球ではジーンズの定理が成り立たないし、局所的にはボルツマン分布であるから）。

1.2 King Model

等温モデルは、すでに述べたように熱平衡（エントロピーの変分が0）という重要な意味を持つ定常解ではあるが、なにしろ質量が無限大であり現実に存在しないのでちょっと困るところがある。なにか適当な仮定を置くことで、「おおむね等温モデルであり、なおかつ有限の大きさをもつ」というものを考えることはできないだろうか？

$$f(\mathcal{E}) = \frac{\rho_1}{(2\pi\sigma^2)^{3/2}} e^{\mathcal{E}/\sigma^2} = \frac{\rho_1}{(2\pi\sigma^2)^{3/2}} \exp\left(\frac{\Psi - v^2/2}{\sigma^2}\right) \quad (4)$$

上の分布関数で、質量が発散する理由は何かを思い出してみよう。その本質的な理由は、分布関数がエネルギー無限大（ $\mathcal{E} \rightarrow -\infty$ ）まで0にならないことにある。

有限の質量のものが自己重力でまとまっているためには、すべての粒子のエネルギーが負でないといけないので、これでは自己重力系が表現出来ないのはある意味では当然のことといえる。

それならば、ある有限のエネルギー以上のものはないことにしてしまえばいい。そのやり方にはいろいろあり得るが、とりあえず Lowered Maxwellian と呼ばれる以下のようなものを考える

$$f(\mathcal{E}) = \begin{cases} \frac{\rho_1}{(2\pi\sigma^2)^{3/2}} (e^{\mathcal{E}/\sigma^2} - 1) & (\mathcal{E} > 0) \\ 0 & (\mathcal{E} \leq 0) \end{cases} \quad (5)$$

これは $\mathcal{E} = 0$ で $f = 0$ となるように、1 を引いたというだけである。これしか方法がないというわけではないが、これは扱いやすいこともあってもっともよく使われている。

例によって、まず速度空間で積分すれば

$$\begin{aligned} \rho &= \frac{4\pi\rho_1}{(2\pi\sigma^2)^{3/2}} \int_0^{\sqrt{2\Psi}} \left[\exp\left(\frac{\Psi - v^2/2}{\sigma^2}\right) - 1 \right] v^2 dv \\ &= \rho_1 \left[e^{\Psi/\sigma^2} \operatorname{erf}\left(\frac{\sqrt{\Psi}}{\sigma}\right) - \sqrt{\frac{4\Psi}{\pi\sigma^2}} \left(1 + \frac{2\Psi}{3\sigma^2}\right) \right] \end{aligned} \quad (6)$$

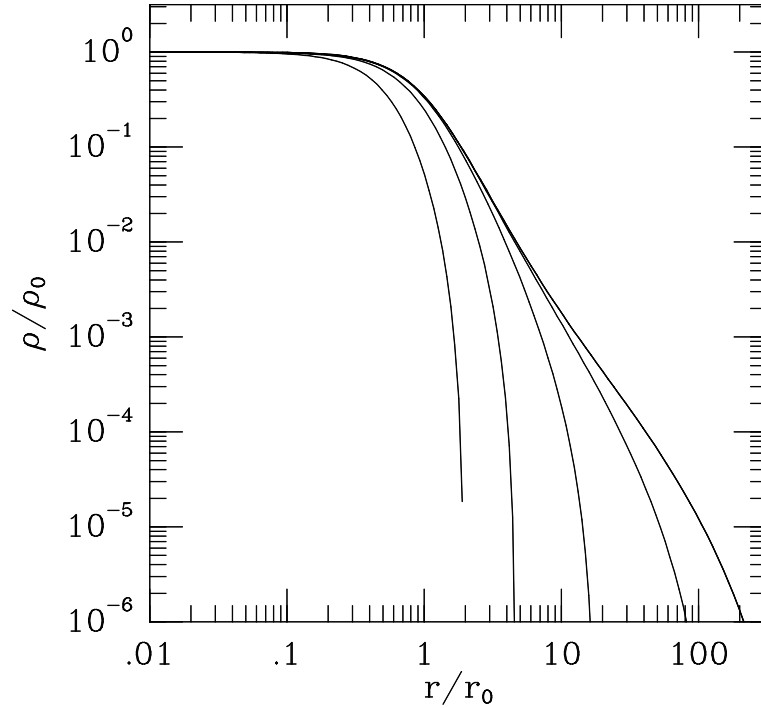
ここで erf は誤差関数で、積分が有限区間であるために出てくる。最後の項は1引いている分の寄与である。ちなみに

$$\operatorname{erf}(z) = \frac{2}{\sqrt{\pi}} \int_0^z e^{-t^2} dt. \quad (7)$$

これでポテンシャルの関数として密度が求まったので、あとはポアソン方程式に入れて数値的に解くだけである。ただし、King model の場合境界条件についてすこしきちんと考える必要がある。

半径方向の分布は、中心から無限遠まで与えられるわけであるが、実は外側の境界をどうとるべきかはちょっと自明ではないので、とりあえず中心から初期値問題として解くことを考える。

初期条件としては、まず $d\Psi/dr = 0$ とする、すなわち、中心密度が有限の解を考える。 Ψ_0 は任意に選べるので、これの値によっていろいろな解がでてくる。



これは実際に数値的に解いてみたものの例である。速く落ちるものから、 Ψ_0 が 1, 3, 6, 9, 12 と変えてみる。

なお、横軸のスケールの r_0 は、

$$r_0 = \sqrt{\frac{9\sigma^2}{4\pi G\rho_0}} \quad (8)$$

として無次元化するのに使っている。これは、いわゆる「コア半径」というのとそこそこ一致しているということになっている。通常、キングモデルのコア半径というときにはこれをさす。観測的には、中心の表面輝度の $1/2$ になるところとするのが普通である。

グラフからわかるように、有限の半径 r_t で ρ は 0 になる。これは、解いていったときに Ψ が 0 になってしまうためである。この半径のことを King model の tidal radius 潮汐半径という。このモデルのばあい、 Ψ と本当のポテンシャル Φ の間に以下のような簡単な関係が成り立つことに注意。

$$\Phi = -\frac{GM}{r_t} - \Psi \quad (9)$$

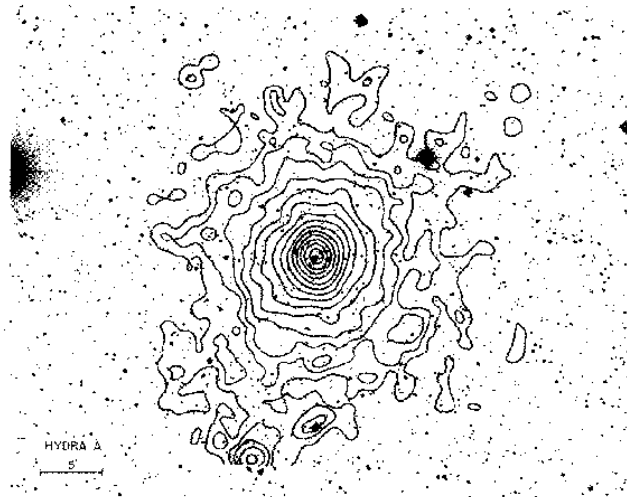
ここで M は系の全質量である。

King Model は、球状星団のプロファイルのモデルとして非常によく使われている。なお、 $c = \log(r_t/r_0)$ のことを concentration parameter といって、観測データにキングモデルを合わせた論文では普通これがパラメータになる。理論計算では Ψ_0 が使われるので、ちょっとややこしいことが多い。

1.3 多成分系の例

さて、今まで、単に無衝突ポルツマン方程式の球対称定常解というものの例をいろいろ見てきたわけだが、ちょっと飽きてきたので目先を変えてみよう。具体的には、「球対称の恒星系のなかでのガスの分布」というものを考えてみることにする。というのは、現在でも観測データの解釈に使われている簡単なモデルは、現在までにやった範囲で十分カバーできるものになっているからである。

多くの銀河団には高温ガスが存在しており、X 線で観測可能である。



1. Einstein IPC isointensity contours of the Hydra A cluster superposed on the optical image of the cluster. The contour levels correspond to 3, 5, 7, 10, 14, 22, 40, 49, 59, 70, 83, and 95 σ above background. The fluxes in the inner and outer contours are 3.3×10^{-6} and 1.4×10^{-6} IPC counts arcmin^{-2} .

上は Einstein IPC による Hydra A 銀河団に (David et al. ApJ 1990, 356, 32) の像である。あと、Chandra やすざくのとか見たことがある人も多いと思うが、まあだいたいこんな感じにきれいに丸いのが普通である。X 線ガスの振舞いについての詳しい話は Sarazin の教科書かなにかを見てもらうとして、とりあえず重要なのは、

- ほぼ等温である
- ほぼ静水圧平衡にある

ということである。この 2 つの仮定をつかっていろいろしらべていくことにしよう。もちろん、Chandra やすざくでもっと細かい構造があることはわかってきているが、大局的な理解は基本的に変わっていない。

まず、話を簡単にするために、

- ガスの自己重力は無視できる

ということにする。これは、銀河団なんかだとちょっと怪しいが、まあ全然だめというほど悪くはない。さらに、

- 恒星系は等温分布である

とする。だんだん、ほんとかなあという気がしてくると思うが、まあ、研究の現場というのはそういうものです。

さて、これぐらいたくさん仮定すると、美しい理論を構築できることになる。まず、ガスの速度分散と恒星系の速度分散が等しい場合というのを考えてみる。ガスの密度 ρ_g が従う方程式は、星の密度を ρ_s として

$$\frac{d}{dr} \left(r^2 \frac{d \log \rho_g}{dr} \right) = - \frac{4\pi G m}{k_B T} \rho_s r^2 \quad (10)$$

と書けるわけだが、 ρ_s 自体がこの方程式の解になっている。すると、これは ρ_g の対数についての微分方程式なので、

$$\rho_g = C \rho_s \quad (11)$$

というのが解になっている。中心で微分が 0 とすれば他の解はない。つまり、どこでもガスと星の密度比が等しいというのが平衡状態になる。この時は、もちろん、ガスの自己重力を考慮しても平衡状態の分布の形は変わらない。

では、温度（速度分散）が違う場合はどうなるかが問題である。ガスの温度 T_g と、恒星系に対応する「温度」 T_s の比を $T_g/T_s = 1/\beta$ と置くと、ガスの密度が従う方程式は、

$$\frac{d}{dr} \left(r^2 \frac{d \log \rho_g}{dr} \right) = \beta [\text{式 (10) の右辺}] \quad (12)$$

と書けるわけだが、この解が

$$\rho_g = C \rho_s^\beta \quad (13)$$

で与えられることは「容易にわかる」。すなわち、対数でグラフに書いて縦に β 倍したものが、解の形を表しているわけである。一般に、温度が高ければ等温解に比べて傾きが緩くなり、低ければより急になるわけである。

1.3.1 β モデル

と、ここまではちゃんと正しい話をしてきたが、実際に観測結果の解釈に使う時にはさらに大胆な近似がなされる。以下、Sarazin の X-ray emissions from clusters of galaxies 5.5 節に従っていわゆる β モデルについて説明し、その問題点について検討する。

式 (13) はもちろん正しいし、有用なものではあるが、あまり使い回しがよくない。というのは、 ρ_s のほうがそもそも数値的にしか求まっていないからである。というわけで、 ρ_s をなにか解析関数で置き換えることを考える。さて、以下の質量分布

$$\rho = \rho_0 [1 + (r/r_c)^2]^{-3/2} \quad (14)$$

を考えてみると、これは $r < 2.5r_c$ 程度ならば等温解の非常によい近似になっている。（遠くにいくとどんどんずれるが）これを恒星系の分布と思えば、ガスの分布は

$$\rho = \rho_0 [1 + (r/r_c)^2]^{-3\beta/2} \quad (15)$$

と解析関数で書けることになって都合がよるしい。さらに、X 線で観測するということを考えて、実際に観測されるのは X 線の強度で、これは密度の 2 乗を視線方向で積分したものだと思ってい。つまり

$$I(r) = 2 \int_0^\infty \rho(\sqrt{r^2 + z^2})^2 dz \quad (16)$$

となるわけだが、これは積分できて、

$$I(r) = C [1 + (r/r_c)^2]^{-3\beta+1/2} \quad (17)$$

となる。定数はいろいろ出てくるけど省略。

左はうまくいく例である (Jones and Forman 1984)。右は先ほど見せた Hydra A

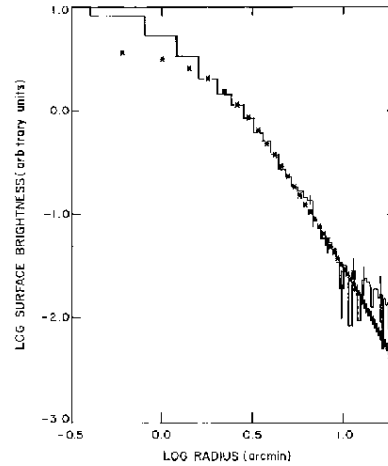
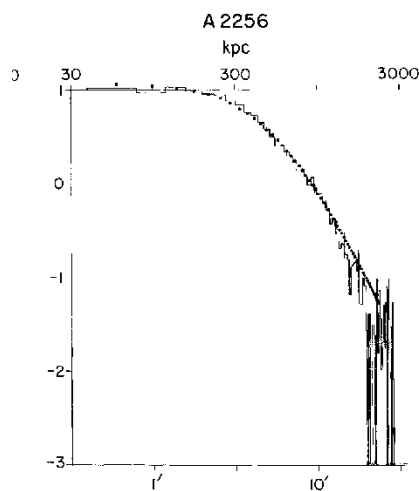


FIG. 2.—*Xinstitute* IPC radial X-ray surface brightness profile of the Hydra A cluster. Crosses are the model, continuous line is the data.

これらはそれなりに典型的なものだが、もうちょっと最近の論文 (Ikebe et al. 1997, ApJ 481, 660) をあげておくと

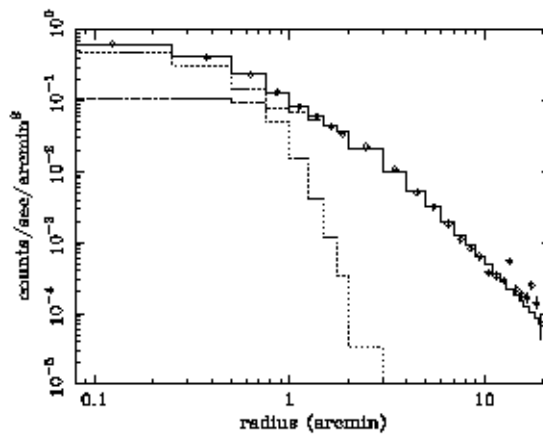


FIG. 3.—Background-subtracted PSPC radial profile fitted with the double β model. Open circles represent the data, and histograms the models.

とまあ、こんな感じになる。

いくつかの観測結果をこのように β モデルでフィットした結果から、以下のような問題があるということになっている。

- かなり多くの銀河団、とくにコア半径の小さいものでは、 β モデルでフィットするとコアの付近に超過 excess が出る。これは普通、「低温成分」(いわゆる Cooling flow) として理解されている。
- 一般に、スペクトルと銀河の速度分散から決めた β のほうが、 β モデルの β よりも 2 倍くらい大きめにでる。

これが問題であるかどうかについては、例えば以下のようなことも考慮する必要があるろう。

- Cooling flow cluster はコアが小さく、明らかに β モデルによるフィットが適当ではないところに無理に β モデルを当てはめている

- 恒星系の分布が isothermal かどうかは怪しい

と、いうわけで、レポート用課題 (1)

- (1-1) 正しい等温分布に対して、X線ガスの表面輝度がどうなるかを求めよ。 β のいくつかの値についてやってみること。
- (1-2) 上で求めたガスの表面輝度を Jones & Forman (ApJ 1984, 276, 38) での Einstein の観測結果と比べて、大雑把(目でみて)でよいから β の値を求め、Jones & Forman の値と比較せよ。
- (1-3) 恒星系の分布が等温ではない時の等温ガスの密度をポテンシャルの関数としてあらわせ。
- (1-4) Hernquist model の場合に、X線ガスの表面輝度はどのようになるかを求めよ。なお、半径無限大で発散する場合は、適当な半径で分布を打ち切つてよい。

2 非等方モデル、ビリアル定理

ここまでは、等温モデルの変形で、有限質量としたキングモデルと、それから多成分系の例として球対称等温な恒星系の中での等温ガスの分布を扱った。以下では、非等方モデルの簡単な例をあげ、それからモデルを離れて恒星系の平衡状態の一般的な性質について考える。

2.1 非等方モデル

非等方ということは、分布関数が $f(E, L)$ の形で書けるということである。まず、密度 ρ がどう書けるかを考えてみよう。一般の分布関数で、密度は単に f を速度空間全体で積分したもの

$$\rho = \int f(\mathcal{E}, L) d^3\mathbf{v} \quad (18)$$

である。速度を極座標 (v, η, ψ) を使って

$$v_r = v \cos \eta, \quad v_\theta = v \sin \eta \cos \psi, \quad v_\phi = v \sin \eta \sin \psi \quad (19)$$

とすれば、角運動量の定義から

$$\rho = 2\pi \int_0^\pi \sin \eta d\eta \int_0^\infty f(\Psi - v^2/2, |rv \sin \eta|) v^2 dv \quad (20)$$

となる。

2.2 Osipkov-Merritt モデル

一般に f が L に依存するしかたというのは無限にあるわけだが、以下、そのなかで割と扱いやすいものとして、分布関数が

$$Q = \mathcal{E} - \frac{L^2}{2r_a^2} = \Psi - \frac{1}{2}v^2 \left(1 + \frac{r^2}{r_a^2} \sin^2 \eta \right) \quad (21)$$

の関数として書ける場合というのを考えてみるこれは Osipkov-Merritt モデルと呼ばれるものである。この時、上の密度の速度空間における積分を Q でかきかえると

$$\rho = 2\pi \int_0^\pi \sin \eta d\eta \int_0^\Psi f(Q) \frac{\sqrt{2(\Psi - Q)}}{[1 + (r/r_a)^2 \sin^2 \eta]^{3/2}} dQ \quad (22)$$

となる。($Q \leq 0$ なら $f(Q) = 0$ とした) ここで、とても素晴らしいことに

$$\int_0^\pi \frac{\sin \eta d\eta}{[1 + (r/r_a)^2 \sin^2 \eta]^{3/2}} = \frac{2}{1 + (r/r_a)^2} \quad (23)$$

となるので、上の積分は

$$\left(1 + \frac{r^2}{r_a^2}\right) \rho(r) = 4\pi \int_0^\Psi f(Q) \sqrt{2(\Psi - Q)} dQ \quad (24)$$

という具合になって、これは実は $f(E)$ の時の式

$$\rho(r) = 4\pi \int_0^\Psi f(\mathcal{E}) \sqrt{2(\Psi - \mathcal{E})} d\mathcal{E}. \quad (25)$$

と非常に良く似た形になり、 f を与えれば ρ を求めることができる。

2.3 ρ から f へ (等方)

非等方分布などを実際に、例えば観測データの説明として使うためには、与えられた密度に対して、それを実現するような分布関数を作るという作業が必要になる。これを、まず $f(E)$ の場合についてやってみて、Osipkov-Merritt モデルの場合にも応用してみる。

式 25 で、密度が至るところ正ならば Ψ は r の単調な関数なので、 ρ を Ψ の関数と思って、両辺を Ψ で微分すれば

$$\frac{1}{\sqrt{8\pi}} \frac{d\rho}{d\Psi} = \int_0^\Psi \frac{f(\mathcal{E}) d\mathcal{E}}{\sqrt{\Psi - \mathcal{E}}} \quad (26)$$

これは Abel の積分方程式になっていて、以下の解を持つ

$$f(\mathcal{E}) = \frac{1}{\sqrt{8\pi^2}} \frac{d}{d\mathcal{E}} \int_0^\mathcal{E} \frac{d\rho}{d\Psi} \frac{d\Psi}{\sqrt{\mathcal{E} - \Psi}} \quad (27)$$

ちょっと書き替えれば

$$f(\mathcal{E}) = \frac{1}{\sqrt{8\pi^2}} \left[\int_0^\mathcal{E} \frac{d^2\rho}{d\Psi^2} \frac{d\Psi}{\sqrt{\mathcal{E} - \Psi}} + \frac{1}{\sqrt{\mathcal{E}}} \left(\frac{d\rho}{d\Psi} \right)_{\Psi=0} \right] \quad (28)$$

例として、Jaffe model

$$\rho = \frac{r_J^4}{r^2(r + r_J)^2}, \quad \Psi = -\ln\left(\frac{r}{r + r_J}\right) \quad (29)$$

を考えてみる。Hernquist model でも同様に出来るけど、こっちの方が式が簡単なので。まず、 r を Ψ で表してそれを ρ の式に入れると、

$$\rho = (e^{\Psi/2} - e^{-\Psi/2})^4 \quad (30)$$

これを式 28 に入れればいいわけだが、 $x = \sqrt{\mathcal{E} - \Psi}$ (ただし、 $\mathcal{E} = -Er_J/GM$) を積分変数にすれば、

$$f(E) = \frac{M}{2\pi^3(GMr_J)^{3/2}} \left[F_-(\sqrt{2\mathcal{E}}) - \sqrt{2}F_-(\sqrt{\mathcal{E}}) - \sqrt{2}F_+(\sqrt{\mathcal{E}}) + F_+(\sqrt{2\mathcal{E}}) \right] \quad (31)$$

但し、

$$F_\pm = e^{\mp x^2} \int_0^x e^{\pm x'^2} dx' \quad (32)$$

2.4 ρ から f へ (Osipkov-Merritt)

さて、ちょっと疲れて来たかも知れないが、式 24 と式 25 が左辺に $1 + (r/r_a)^2$ がつく以外は同じ形をしていたということを思い出して欲しい。式 28 は式 25 の解であったわけなので、今

$$\rho_Q = \left(1 + \frac{r^2}{r_a^2}\right) \rho \quad (33)$$

と置いてやれば式 28 と全く同じ形、つまり

$$f(Q) = \frac{1}{\sqrt{8\pi^2}} \left[\int_0^Q \frac{d^2 \rho_Q}{d\Psi^2} \frac{d\Psi}{\sqrt{Q-\Psi}} + \frac{1}{\sqrt{Q}} \left(\frac{d\rho_Q}{d\Psi} \right)_{\Psi=0} \right] \quad (34)$$

の解があることになる。例えば Jaffe model であれば、前節と同様にして分布関数を今度は Q の関数として求めることができる。

最後に、Osipkov-Merritt モデルの性質について少し考えてみる。分布関数が $Q = \mathcal{E} - L^2/(2r_a^2) = \Phi_0 - (E + L^2/(2r_a^2))$ によるということは、 $f(E, L)$ の等高線が放物線になっているということである。中心近くでは、どうぞ L の取り得る値の範囲が狭いので、実は等方的な場合とあまり変わらない。これに対し、外側の $E = 0$ に近いところでは、等方の場合から大きくずれる。

ずれ方は、通常の f は E の減少関数なので、 L^2 についてもそうなり、外側にいくほど circular に近い軌道が減り、radial に近い軌道を持つ粒子が相対的に増えることになる。

このような傾向は、例えば楕円銀河などの形成過程についてのいろいろなシナリオで自然に起きること（そのうちに扱う）であり、理論的に調べられている非等方モデルは大抵上のような角運動量でカットオフを持つようなモデルになっている。

なお、非等方性の重要な観測的応用として、楕円銀河の中心部の構造のモデルがあるが、これについては後で時間があれば触れることにしたい。